

Т.Б. Журавлева, Г.А. Титов

КОРРЕЛЯЦИОННАЯ ФУНКЦИЯ ПОТОКОВ СОЛНЕЧНОЙ РАДИАЦИИ ПРИ КУЧЕВОЙ ОБЛАЧНОСТИ

В модели разорванной облачности, построенной на пуассоновских потоках точек, выведена замкнутая система уравнений для дисперсии и корреляционной функции интенсивности и разработан метод ее решения. Результаты расчетов, статистических характеристик потоков сравниваются с данными натурных измерений.

Кучевая облачность как рассеивающая и поглощающая оптическое излучение среда является чрезвычайно сложным нерегулярным образованием, состоящим из большого числа отдельных облачных элементов. Практически невозможно получить исчерпывающий объем информации о геометрических и оптических параметрах облаков, требуемой для однозначного определения из уравнения переноса характеристик модулируемого облаками излучения в произвольной точке фазового пространства координат и направлений. Это обстоятельство диктует необходимость статистического подхода к проблеме взаимодействия полей облачности и радиации. В рамках такого подхода на основе уравнения переноса нужно получить и решить уравнения, связывающие заданную статистику облачного поля с искомыми статистическими характеристиками излучения.

Математические модели облачных полей со случайной геометрией, уравнения для средней интенсивности и методы их решения изложены в [1]. Цель данной работы — вывести замкнутую систему уравнений для корреляционной функции интенсивности солнечной радиации, решить эту систему методом Монте-Карло и сравнить рассчитанные дисперсии и корреляционные функции потоков пропущенного излучения с имеющимися данными натурных измерений.

Уравнения и метод решения. Оптическая модель облачности задается в слое Λ : $0 \leq z \leq H$ в виде случайных скалярных полей коэффициента ослабления $\kappa(\mathbf{r})$, альбедо однократного рассеяния $\lambda\kappa(\mathbf{r})$ и индикаторы рассеяния $g(\omega, \omega')\kappa(\mathbf{r})$, где $\kappa(\mathbf{r})$ — случайная индикаторная функция наличия облаков, $\mathbf{r} = (x, y, z)$, $\omega = (a, b, c)$ — единичный вектор направления. Модель поля $\kappa(\mathbf{r})$, построенная на основе пуассоновских потоков точек на прямых, характеризуется безусловной $p = \langle \kappa(\mathbf{r}) \rangle$ и условной $V(r_1, r_2) = (1 - p) e^{-A(\omega)|f_1 - f_2|} + p$ вероятностями присутствия облаков, $A(\omega) = |a|A_x + |b|A_y$ $\omega = (\mathbf{r}_1 - \mathbf{r}_2)/|\mathbf{r}_1 - \mathbf{r}_2|$ и угловые скобки означают среднее по ансамблю κ . Значение $A = A_x = A_y$ (среднее число точек на единицу длины) рассчитывается по формуле

$$A = \frac{1,65(N - 0,5)^2 + 1,04}{D},$$

где средний горизонтальный размер облаков D и балл облачности $N = p$ являются входными параметрами модели и наряду с σ , g , λ и H могут быть определены экспериментально.

Для упорядоченной последовательности точек $\{\mathbf{r}_i\}$, $i = 1, 2, \dots, n$, координаты которых образуют монотонные последовательности, n -мерная вероятность наличия облаков факторизуется и справедлива формула для расщепления корреляций

$$\langle \kappa(r_1) \kappa(r_2) R[\kappa] \rangle = V(r_1, r_2) \langle \kappa(r_2) R[\kappa] \rangle \quad (1)$$

где $R[\kappa]$ — функционал, зависящий от значений $\kappa(\mathbf{r})$ вдоль ломаной, проходящей через $\{\mathbf{r}_i\}$, $i = 2, \dots, n$. Подробное описание модели и вывод (1) приведены в [2].

Пусть на верхнюю границу слоя Λ в направлении ω_\odot падает параллельный единичный поток солнечной радиации. Взаимодействие излучения с молекулярно-аэрозольной атмосферой и отражение от подстилающей поверхности не учитываются. Случайная монохроматическая интенсивность $I(\mathbf{r}, \omega) = i(\mathbf{r}, \omega) + j(\mathbf{r})\delta(\omega - \omega_\odot)$ в пределах слоя Λ удовлетворяет стохастическому уравнению переноса

$$i(\mathbf{r}, \omega) + \frac{\sigma}{|c|} \int_{E_z}^z \kappa(\mathbf{r}') i(\mathbf{r}', \omega) d\tilde{z} = \frac{\sigma}{|c|} \int_{E_z}^z \kappa(\mathbf{r}') B_i(\mathbf{r}', \omega) d\tilde{z}, \quad (2)$$

$$j(\mathbf{r}) + \frac{\sigma}{|c_\odot|} \int_z^H \kappa(\mathbf{r}') j(\mathbf{r}') d\tilde{z} = 1, \quad (3)$$

$$B_i(\mathbf{r}, \omega) = \lambda \left\{ \int_{4\pi} g(\omega, \omega') i(\mathbf{r}, \omega') d\omega' + g(\omega, \omega_\odot) j(\mathbf{r}) \right\}, \quad (4)$$

$E_z = (0, z)$ при $c > 0$, $E_z = (z, H)$ при $c < 0$, $\mathbf{r}' = \mathbf{r} + \frac{\xi - z}{c} \omega$. Из (1)–(4) получим замкнутую систему уравнений для корреляций интенсивности солнечной радиации. Для определенности рассмотрим нисходящее излучение. Пусть точки $\mathbf{r}_1, \mathbf{r}_2$ и направления ω_1, ω_2 выбраны таким образом (рис. 1), что

$$x'' \leq x_2 \leq x_1^{(H)} \leq x' \leq x_1, \quad y'' \leq y_2 \leq y_1^{(H)} \leq y' \leq y_1, \quad (5)$$

знаки неравенств по одной или обеим координатам можно изменить на противоположные. Обозначим через $f(\mathbf{x})$ случайные интенсивности $i(\mathbf{x})$ или $j(\mathbf{x})$, $\mathbf{x} = (\mathbf{r}, \omega)$. Согласно (2), (3) при выполнении (5) функционал $R[\mathbf{x}] = i(\mathbf{r}', \omega_1) f(\mathbf{x}_2)$ явно зависит от значений поля $\mathbf{x}(\mathbf{r})$ до точки \mathbf{r}' и с учетом только этой зависимости справедлива формула (1) для расщепления корреляций. Однако $i(\mathbf{x})$ и, следовательно, $R[\mathbf{x}]$ неявно (через B_i) определяются значениями $\mathbf{x}(\mathbf{r})$ во всем слое Λ , поэтому (1) можно использовать как приближение, необходимое при выводе замкнутых уравнений.

Запишем (2) в точке \mathbf{x}_1 , умножим на $f(\mathbf{x}_2)$ и $\mathbf{x}(\mathbf{r}_1)f(\mathbf{x}_2)$ и после усреднения с учетом (1) получим

$$\langle i(\mathbf{r}_1, \omega_1) f(\mathbf{x}_2) \rangle = \frac{\sigma}{|c_1|} \int_{E_{z_1}} [B_i(\mathbf{r}', \omega_1, \mathbf{x}_2) - T(\mathbf{r}', \omega_1, \mathbf{x}_2)] d\xi, \quad (6)$$

$$T(\mathbf{r}_1, \omega_1, \mathbf{x}_2) = \frac{\sigma}{|c_1|} \int_{E_{z_1}} V(\mathbf{r}_1, \mathbf{r}') [B_i(\mathbf{r}', \omega_1, \mathbf{x}_2) - T(\mathbf{r}', \omega_1, \mathbf{x}_2)] d\xi, \quad (7)$$

где $T(\mathbf{r}_1, \omega_1, \mathbf{x}_2) = \langle \mathbf{x}(\mathbf{r}_1) i(\mathbf{r}_1, \omega_1) f(\mathbf{x}_2) \rangle$, $t(\mathbf{r}_1, \mathbf{x}_2) = \langle \mathbf{x}(\mathbf{r}_1) j(\mathbf{r}_1) f(\mathbf{x}_2) \rangle$,

B_t определяется (4) с заменой i и j на T и t . Уравнение (7) формально совпадает с уравнением для функции $u(\mathbf{r}, \omega) = \langle \kappa(\mathbf{r}) i(\mathbf{r}, \omega) \rangle / p$ [3], поэтому для функции $W(\mathbf{x}_1, \mathbf{x}_2) = T(\mathbf{x}_1, \mathbf{x}_2) + t(\mathbf{r}_1, \mathbf{x}_2)\delta(\omega_1 - \omega_\odot)$ можно записать интегральное уравнение

$$W(\mathbf{x}_1, \mathbf{x}_2) = \int_X k(\mathbf{x}', \mathbf{x}_1) W(\mathbf{x}', \mathbf{x}_2) d\mathbf{x}' + \delta(\omega_1 - \omega_\odot) t(\mathbf{r}_1, \mathbf{x}_2) \quad (8)$$

с ядром

$$k(\mathbf{x}', \mathbf{x}_1) = \frac{\lambda \sum_{i=1}^s D_i \lambda_i e^{-\lambda_i |\mathbf{r}_1 - \mathbf{r}'|} g(\mu_1)}{2\pi |\mathbf{r}_1 - \mathbf{r}'|^2} \delta\left(\frac{\mathbf{r}_1 - \mathbf{r}'}{|\mathbf{r}_1 - \mathbf{r}'|} - \omega_1\right), \quad (9)$$

$$\text{где } \lambda_{1,2} = \frac{\sigma + A(\omega)}{2} \mp \frac{\sqrt{(\sigma + A(\omega))^2 - 4A(\omega)p\sigma}}{2},$$

$$D_1 = \frac{\lambda_2 - \sigma}{\lambda_2 - \lambda_1}, \quad D_2 = 1 - D_1,$$

$g(\omega_1, \omega') = g(\mu_1)/2\pi$, $\mu_1 = (\omega_1 \omega')$ — косинус угла рассеяния. В (8) интегрирование ведется вдоль луча, что позволяет после несложных, но громоздких преобразований, связанных с изменением порядка интегрирования и вычислением соответствующих интегралов, получить из (6) выражение

$$\langle i(\mathbf{x}_1) f(\mathbf{x}_2) \rangle = (W, h) = \frac{\lambda \sigma}{2\pi |c_1|} \int_{E_{z_1}} d\xi \int_{4\pi} \sum_{i=1}^2 D_i e^{-\frac{\lambda_i |z_1 - \xi|}{|c_1|}} g(\mu_1) W(\mathbf{x}', \mathbf{x}_2) d\omega'. \quad (10)$$

В пространстве L_1 ряд Неймана для уравнения (8) сходится, что обеспечивает возможность применения метода Монте-Карло для оценки линейных функционалов $J_h = (W, h)$. Определим цепь Маркова $\{\mathbf{x}_i\}$ начальной $\psi_1(\mathbf{x}) = \tilde{\psi}_1(\mathbf{x})\delta(\omega - \omega_\odot)$, $\tilde{\psi}_1(\mathbf{x}) = \sum_{i=1}^2 D_i \lambda_i e^{-\frac{\lambda_i |z-H|}{|C_\odot|}}$ и переходной $k(\mathbf{x}', \mathbf{x}_1)/\lambda$ плотностями вероятности. Тогда [4]

$$J_h = J(\mathbf{x}_1, \mathbf{x}_2) = M \sum_{n=0}^{N_1} q_n(\mathbf{x}_n, \mathbf{x}_2) h(\mathbf{x}_n, \mathbf{x}_2), \quad (11)$$

$$q_0 = \frac{t(\mathbf{r}_0, \mathbf{x}_2)}{\tilde{\psi}(\mathbf{x}_0)}, \quad q_n = \lambda q_{n-1}, \quad (12)$$

где M — знак математического ожидания по ансамблю реализаций траекторий; N_1 — случайный номер последнего состояния; $\mathbf{r}_0 = \mathbf{r}_1 + \frac{\mathbf{z}_0 - \mathbf{z}_1}{c_1} \omega_1$. Задачу о вычислении J_h можно считать решенной, если найдем $t(\mathbf{r}_0, \mathbf{x}_2)$.

Пусть $f(\mathbf{x}_2) = i(\mathbf{x}_2)$. Уравнение (3), записанное в точке \mathbf{r}_1 , умножим на $i(\mathbf{x}_2)$ и $\kappa(\mathbf{r}_1)i(\mathbf{x}_2)$ и усредним с учетом (1)

$$\langle j(\mathbf{r}_1) i(\mathbf{x}_2) \rangle + \frac{\sigma}{|c_\odot|} \int_{\mathbf{z}_1}^H t(\mathbf{r}', \mathbf{x}_2) d\tilde{z} = \langle i(\mathbf{x}_2) \rangle, \quad (13)$$

$$t(\mathbf{r}_1, \mathbf{x}_2) + \frac{\sigma}{|c_\odot|} \int_{\mathbf{z}_1}^H t(\mathbf{r}', \mathbf{x}_2) d\tilde{z} = \varphi(\mathbf{r}_1, \mathbf{x}_2), \quad (14)$$

где $\varphi(\mathbf{r}_1, \mathbf{x}_2) = \langle \kappa(\mathbf{r}_1)i(\mathbf{x}_2) \rangle$ удовлетворяет уравнению

$$\varphi(\mathbf{r}_1, \mathbf{x}_2) = \frac{\sigma p}{|c_2|} \int_{E_{\mathbf{z}_2}} V(\mathbf{r}_1, \mathbf{r}'') \{B_u(\mathbf{r}'', \omega_2) - u(\mathbf{r}'', \omega_2)\} d\eta, \quad (15)$$

$\mathbf{r}'' = \mathbf{r}_2 + \frac{\mathbf{z}_1 - \mathbf{z}_2}{c_2} \omega_2$, B_u определяется формулой (4) с заменой i, j на $u(\mathbf{r}, \omega)$ и $v(r) = \sum_{i=1}^2 D_i e^{-\frac{\lambda_i |H-z|}{|c_\odot|}}$. Для условной вероятности $V(\mathbf{r}_1, \mathbf{r}'')$ имеем $A(\omega)|\mathbf{r}_1 - \mathbf{r}''| = A_x|x_1 - x''| + A_y|y_1 - y''|$. Если неравенства (5) выполняются, то (см. рис. 1) $|x_1 - x''| = \Delta x + |a_2||\mathbf{r}_2 - \mathbf{r}''|$, $|y_1 - y''| = \Delta y + |b_2||\mathbf{r}_2 - \mathbf{r}''|$, $\Delta x = |x_1 - x_2|$, $\Delta y = |y_1 - y_2|$ и тогда $V(\mathbf{r}_1, \mathbf{r}'') = p + e^{-A_x \Delta x - A_y \Delta y} [V(\mathbf{r}_2, \mathbf{r}'') - p]$. Поскольку модельное облачное поле статистически однородно и однородны граничные условия, то $\langle i(\mathbf{r}, \omega) \rangle = \langle i(z, \omega) \rangle$, $u(\mathbf{r}, \omega) = u(z, \omega)$. С учетом уравнений для $\langle i(z, \omega) \rangle$ и $u(z, \omega)$ [1, 3] соотношение (15) можно записать в виде

$$\varphi(\mathbf{r}_1, \mathbf{x}_2) = p \langle i(z_2, \omega_2) \rangle + p e^{-A_x \Delta x - A_y \Delta y} [u(z_2, \omega_2) - \langle i(z_2, \omega_2) \rangle]. \quad (16)$$

Из (13), (14), (16) следует $t(\mathbf{r}_1, \mathbf{x}_2) = v(z_1)\varphi(\mathbf{r}_1, \mathbf{x}_2)$.

$$\begin{aligned} \langle j(\mathbf{r}_1) i(\mathbf{x}_2) \rangle &= \langle j(z_1) \rangle \langle i(\mathbf{x}_2) \rangle - e^{-A_x \Delta x - A_y \Delta y} \times \\ &\times [1 - \langle j(z_1) \rangle] [u(z_2, \omega_2) - \langle i(z_2, \omega_2) \rangle], \end{aligned} \quad (17)$$

где $\langle j(z) \rangle$ — средняя интенсивность нерассеянного излучения [1].

Заметим, что из (17) можно определить корреляцию вида $\langle j(\mathbf{r}_2)i(\mathbf{r}_1, \omega_1) \rangle$. Действительно, $\langle j(\mathbf{r}_2, \omega_1)i(\mathbf{x}_1) \rangle = \langle j(\mathbf{r}_2^{(H)} - \omega_1)i(\mathbf{x}_1) \rangle$, справедливы неравенства типа (5), поэтому $\langle j(\mathbf{r}_2, \omega_1)i(\mathbf{x}_1) \rangle = \langle j(\mathbf{r}_2^{(H)} - \omega_1)i(\mathbf{x}_1) \rangle$, рассчитывается по формуле (17) с заменой $\Delta x, \Delta y$ на $\left| \Delta x + \frac{a_\odot}{c_\odot} H \right|$, $\left| \Delta y + \frac{b_\odot}{c_\odot} H \right|$. Запишем (12) с учетом (17) в виде

$$q_n = Q_n \frac{\varphi(\mathbf{r}_0, \mathbf{x}_2)}{p}, \quad Q_0 = \frac{p v(z_0)}{\psi(z_0)}, \quad Q_n = \lambda Q_{n-1}. \quad (18)$$

Согласно (10), (16), (18) формулу (11) можно записать в виде

$$\begin{aligned} & \langle i(\mathbf{x}_1) i(\mathbf{x}_2) \rangle = \langle i(z_1, \omega_1) \rangle \langle i(z_2, \omega_2) \rangle + [u(z_2, \omega_2) - \\ & - \langle i(z_2, \omega_2) \rangle] M \sum_{n=0}^{N_1} Q_n h(\mathbf{x}_n, \mathbf{x}_1) e^{-A_x \Delta x_0 - A_y \Delta y_0}, \\ & h(\mathbf{x}_n, \mathbf{x}_1) = \begin{cases} \frac{\sigma g(\mu_1)}{2\pi |c_1|} \sum_{i=1}^2 D_i e^{-\frac{\lambda_i |z_1 - z_n|}{|c_i|}}, & c_1(z_1 - z_n) > 0 \\ 0, & c_1(z_1 - z_n) \leq 0, \end{cases} \end{aligned} \quad (19)$$

где $\Delta x_0 = |x_0 - x_2|$, $\Delta y_0 = |y_0 - y_2|$. По формулам (17), (19) можно численно оценить искомые корреляционные функции интенсивности.

Реальные приемники имеют конечные пространственные и угловые размеры, поэтому (17), (19) необходимо проинтегрировать по соответствующему фазовому пространству. При интегрировании расположение точек далеко не всегда будет удовлетворять неравенствам типа (5), при выполнении которых справедливо (1) и получены основные формулы (17), (19). Из-за отсутствия какого-либо другого способа расщепления корреляций будем использовать (17), (19) и при произвольном расположении точек. Формулы (17), (19) и тем более полученные на их основе соотношения будут приближенными, точность приближения оценим путем сравнения с имеющимися экспериментальными данными.

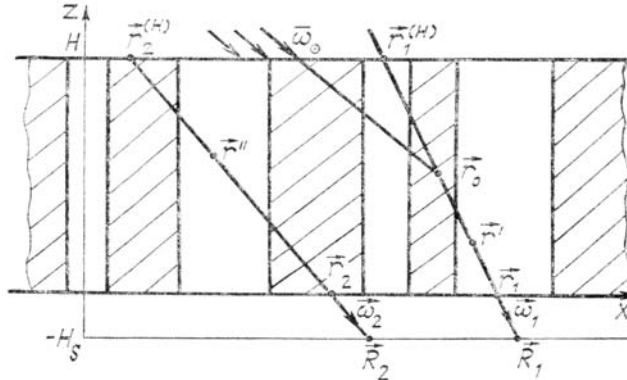


Рис. 1. Геометрическая схема расположения точек $\{r_i\}$, $i=1, 2$, удовлетворяющих соотношениям (5), в случайной реализации облачного поля (заштрихованные области соответствуют облакам)

Пусть на расстоянии H_s от границы облачного слоя в точках $\mathbf{R}_i = (\hat{x}_i, \hat{y}_i, -H_s)$, $i = 1, 2$, расположены ориентированные в зенит точечные приемники с телесным углом поля зрения 2π и $\hat{x}_1 \geq \hat{x}_2$, $\hat{y}_1 \geq \hat{y}_2$. При интегрировании по телесному углу необходимо учесть, что точкам \mathbf{R}_i и каждому $\omega_i \in 2\pi$ соответствуют точки \mathbf{r}_i на границе облачного слоя (рис. 1). Согласно (19) и формулам для расчета методом Монте-Карло $\langle i(z, \omega) \rangle$, $u(z, \omega)$

$$\langle Q_s \rangle = \int_{2\pi} |c| \langle i(z, \omega) \rangle d\omega \text{ и } Q_u = \int_{2\pi} |c| u(z, \omega) d\omega,$$

полученных в [3], корреляционная функция потоков Q_s диффузного пропущенного излучения имеет вид

$$K_{Q_s}(\mathbf{R}_1, \mathbf{R}_2) = \langle Q_s \rangle^2 + M \sum_{\kappa=0}^{N_2} Q_\kappa h_2(\mathbf{x}_\kappa) \cdot M_1 \sum_{n=0}^{N_1} Q_n h_1(\mathbf{x}_n), \quad (20)$$

$$h_1(\mathbf{x}_n) = \begin{cases} \sigma \sum_{i=1}^2 D_i e^{-\frac{z_n}{|c_{n+1}|}} e^{-A_x \Delta x_n - A_y \Delta y_n}, & c_{n+1} z_n < 0, \\ 0, & c_{n+1} z_n \geq 0, \end{cases}$$

$$h_2(\mathbf{x}_\kappa) = \begin{cases} \frac{1}{p} \sum_{i=1}^2 D_i (\lambda_i - \sigma p) e^{-\lambda_i |c_{\kappa+1}|} & c_{\kappa+1} z_\kappa < 0, \\ 0, & c_{\kappa+1} z_\kappa > 0, \end{cases}$$

$$\Delta x_n = \left| \Delta \hat{x} + H_s \left(\frac{a_{\kappa+1}}{c_{\kappa+1}} - \frac{a_{n+1}}{c_{n+1}} \right) + \frac{a_{n+1} z_0}{c_{n+1}} \right|, \quad \Delta \hat{x} = \hat{x}_1 - \hat{x}_2,$$

$$\Delta y_n = \left| \Delta \hat{y} + H_s \left(\frac{b_{\kappa+1}}{c_{\kappa+1}} - \frac{b_{n+1}}{c_{n+1}} \right) + \frac{b_{n+1} z_0}{c_{n+1}} \right|, \quad \Delta \hat{y} = \hat{y}_1 - \hat{y}_2.$$

В (20) M — безусловное, а M_1 — условное (при заданной траектории $\{\mathbf{x}_\kappa\}$) математические ожидания. Аналогичным образом из (17) получим корреляцию потоков прямой S и рассеянной Q_s радиации:

$$K_{S,Q_s}(\mathbf{R}_1, \mathbf{R}_2) = \langle S \rangle \langle Q_s \rangle - (1 - \langle S \rangle) M \sum_{\kappa=0}^{N_2} Q_\kappa h_2(\mathbf{x}_\kappa) \times$$

$$\times \exp \left\{ -A_x \left| \Delta \hat{x} + H_s \left(\frac{a_\odot}{c_\odot} - \frac{a_{\kappa+1}}{c_{\kappa+1}} \right) \right| - A_y \left| \Delta \hat{y} + H_s \left(\frac{b_\odot}{c_\odot} - \frac{b_{\kappa+1}}{c_{\kappa+1}} \right) \right| \right\}. \quad (21)$$

В случае когда приемники расположены на границе облачного слоя ($H_s = 0$), последний сомножитель в (21) можно вынести за знак математического ожидания, а условное математическое ожидание в (20) становится безусловным, тогда эти формулы существенно упрощаются

$$K_{Q_s}(\mathbf{R}_1, \mathbf{R}_2) = \langle Q_s \rangle^2 + (Q_u - \langle Q_s \rangle) M \sum_{n=0}^{N_1} Q_n h_1(\mathbf{x}_n), \quad (20')$$

$$K_{S,Q_s}(\mathbf{R}_1, \mathbf{R}_2) = \langle S \rangle \langle Q_s \rangle - (1 - \langle S \rangle) (Q_u - \langle Q_s \rangle) e^{-A_x \hat{x} - A_y \hat{y}} \quad (21')$$

С учетом сделанного выше замечания из (21) или (21') нетрудно получить выражения для $K_{Q_s,s}(\mathbf{R}_1, \mathbf{R}_2)$. Формулы типа (20) или (20') можно записать для корреляционной функции потоков отраженного излучения.

Сравнение с экспериментом. Натурные измерения статистики полей кучевых облаков и радиации не являются одновременными и комплексными, что затрудняет корректное сравнение модельных статистических характеристик лучистых потоков с реальными. В расчетах положим $D = 1$ км и $H = 0,5$ км [5], так как эти значения обеспечивают минимально возможные среднеквадратические отклонения между модельными и экспериментальными вероятностями закрытости направления визирования облаками. Зенитный угол Солнца $\xi_\odot \sim 50^\circ$ и коэффициент ослабления $\sigma \sim 25 \text{ км}^{-1}$ приблизительно соответствуют условиям проведения эксперимента. Индикатриса рассеяния рассчитана по теории Ми для длины волны 0,69 мкм и облака C_1 [6].

Теоретическая дисперсия D_s потока прямой радиации, вычисленная по формулам [5], существенно отличается (рис. 2) от экспериментальных данных [7] и расчетов по эмпирической формуле [8]

$$D_s = 0,15 \sin[1,2\pi(N_0 - 0,15)], \quad (22)$$

где относительный балл облачности $N_0 = N + 0,5 N(1 - N)$ при $0,2 \leq N \leq 0,9$. Это связано с неучетом в теории ряда факторов: аэрозольно-молекулярной подоблачной атмосфере, макромасштабных флюктуаций оптических параметров внутри облака и наличия оптически тонких краев отдельных кучевых облаков. Если учет двух последних факторов является сложной, нерешенной задачей, то нетрудно получить оценки влияния подоблачной атмосферы на статистику прямой радиации. Действительно, случайный поток \tilde{S} прямой солнечной радиации на уровне подстилающей поверхности можно записать в виде $\tilde{S} = S e^{-\tau_a / |c_\odot|}$, где S — случайное пропускание облачным слоем, τ_a — оптическая толщина подоблачной атмосферы. Отсюда следует, что

$$\langle \tilde{S} \rangle = \langle S \rangle e^{-\tau_a / |c_\odot|}, \quad D_{\tilde{S}} = D_s e^{-2\tau_a / |c_\odot|}.$$

Отсутствие в эксперименте даже грубых оценок τ_a и ее зависимости от N , а также пределов изменения ξ_\odot не позволяет сделать однозначный вывод о результатах сравнения между расчетами и натурными измерениями. Тем не менее, изменяя τ_a и ξ_\odot в разумных пределах, можно получить удовлетворительное качественное согласие теории с экспериментом (рис. 2, кривые 2, 3).

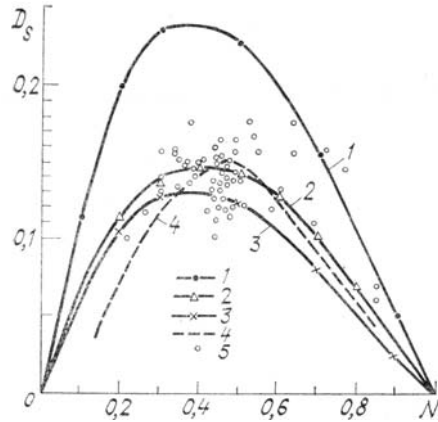


Рис. 2. Зависимость дисперсии потока прямой радиации D_s от балла облачности: модельные расчеты при $\sigma = 25 \text{ км}^{-1}$, $H = 0,5 \text{ км}$, $D = 1,0 \text{ км}$ и различных значениях τ_a ($1 - \tau_a = 0$; $2, 3 - \tau_a = 0,2$) и ξ_\odot ($1, 2 - \xi_\odot = 50^\circ$, $3 - \xi_\odot = 40^\circ$); расчеты по эмпирической формуле [8] — 4; данные натурных измерений [7] — 5

Зависимость среднеквадратического отклонения $\sqrt{D_Q}$ потока суммарной радиации от N иллюстрирует рис. 3, где также приведены данные натурных измерений [9] и расчеты по эмпирической формуле [8]

$$D_Q = 0,1 \sin [\pi (N_0 - 0,1)]. \quad (23)$$

При оценке D_Q учитывалось ослабление подоблачной атмосферой только прямой радиации. При оценке статистики рассеянной радиации считается, что приемник расположен на нижней границе облачного слоя ($H_s = 0$), поэтому не учитывается уменьшение в среднем амплитуды флукутуаций потока Q_S , которое имеет место при увеличении расстояния от приемника до облаков. При малых и средних значениях N основной вклад в D_Q вносит D_s [10], поэтому в данной области N сделанные выше предположения не приводят к существенным ошибкам в определении D_Q .

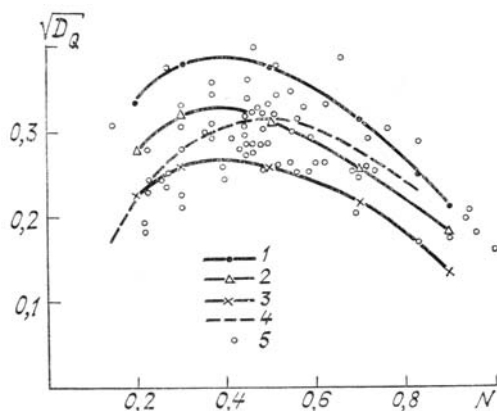


Рис. 3. Влияние балла облачности N на среднеквадратическое отклонение потока суммарной радиации: модельные расчеты при $\sigma = 25 \text{ км}^{-1}$, $H = 0,5 \text{ км}$, $D = 1 \text{ км}$, $\xi_\odot = 50^\circ$ и различных значениях τ_a ($1 - \tau_a = 0$; $2 - \tau_a = 0,1$; $3 - \tau_a = 0,2$); расчеты по эмпирической формуле [8] — 4, экспериментальные данные [9] — 5

Сколько-нибудь обоснованное количественное сопоставление пространственных корреляционных функций потоков суммарной и рассеянной радиации с экспериментальными данными не представляется возможным. Дело в том, что в эксперименте определяются, как правило, временные корреляционные функции потоков и переход к пространственным возможен, если известна составляющая скорости перемещения облачного покрова вдоль плоскости наблюдения. Эта составляющая скорости не

определенна, поэтому ограничимся лишь качественным сравнением теоретических и экспериментальных нормированных корреляционных функций. Из эксперимента известны следующие характерные особенности [10]:

1) при $N \lesssim 0,6 - 0,7$ корреляционные функции потоков прямой $B_s(l)$ и суммарной $B_Q(l)$ радиации мало отличаются и почти всегда $B_Q(l) > B_s(l)$, $l = |\mathbf{R}_1 - \mathbf{R}_2|$, тогда как при больших N $B_Q(l)$ приближается к корреляционной функции $B_{Q_s}(l)$ потока рассеянной радиации и $B_{Q_s}(l) \geq B_Q(l)$;

2) радиус корреляции потока суммарной радиации может иметь минимум при $N = 0,2 - 0,3$;

3) корреляционная функция $B_{Q_s}(l)$ слабо зависит от N . Модельные корреляционные функции, представленные на рис. 4, имеют указанные выше качественные зависимости.

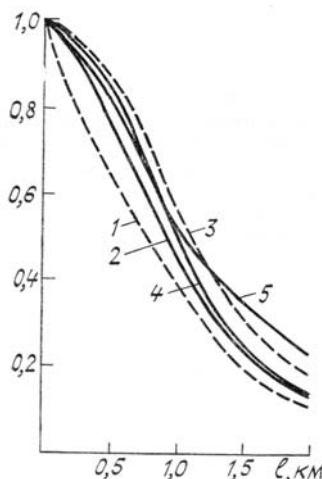


Рис. 4. Модельные корреляционные функции пропущенного солнечного излучения в зависимости от балла облачности при $\sigma = 25 \text{ км}^{-1}$, $H = 0,5 \text{ км}$, $D = 1,0 \text{ км}$, $\xi_\odot = 50^\circ$: суммарная — 2 ($N = 0,2$), 4 ($N = 0,1$), 5 ($N = 0,3$); прямая и рассеянная радиация — 1, 3 ($N = 0,2$)

Сравнение результатов расчетов с данными натурных измерений показывает, что между теорией и экспериментом существует удовлетворительное согласие по всем сравниваемым здесь статистическим характеристикам радиации. Эта согласованность не достигалась путем специального подбора параметров задачи, поэтому она не является результатом «подгонки» и позволяет считать, что пуссоновские модели полей кучевых облаков и приближенные уравнения для стохастических характеристик излучения в главных чертах правильно отражают реальный процесс формирования радиационного поля.

1. Титов Г. А. //Оптика атмосферы. 1988. Т. 1. № 4. С. 3.
2. Титов Г.А. //Изв. АН СССР. ФАО. 1985. Т. 21. № 9. С. 940.
3. Скоринов В. Н., Титов Г. А. //В кн.: Методы и алгоритмы статистического моделирования. Новосибирск: ВЦ СО АН СССР. 1983. С. 91.
4. Марчук Г. И., Михайлов Г. А., Назаралиев М. А. и др. Метод Монте-Карло в атмосферной оптике. Новосибирск: Наука, 1976. 283 с.
5. Журавлева Т. Б., Титов Г. А. //В кн.: Оптико-метеорологические исследования атмосферы. Новосибирск: Наука. 1987. С. 108.
6. Дейрменджан Д. Рассеяние электромагнитного излучения сферическими полидисперсными частицами. М.: Мир. 1971. 290 с.
7. Тимановская Р. Г., Фейгельсон Е. М. //В кн.: Теплообмен в атмосфере. М.: Наука. 1972. С. 112.
8. Радиация в облачной атмосфере //Под ред. Е.М. Фейгельсон, Л.: Гидрометеоиздат. 1981. 280 с.
9. Пылдмаа В. К., Тимановская Р. Г. //В кн.: Теплообмен в атмосфере. М.: Наука. 1972. С. 101.
10. Стохастическая структура полей, облачности и радиации //Под ред Ю.-А.Р. Мулламаа. Тарту. 1972. 281 с.

Институт оптики атмосферы
СО АН СССР, Томск

Поступила в редакцию
10 мая 1988 г.

T. B. Zhuravleva, G. A. Titov. Solar Radiation Flux Correlation Function for Cumulus Cloudiness.

A closed system of equations for the intensity variance and correlation function is derived within the framework of a broken cloudiness model based on the Poisson point fluxes.

A workable approach to the solution of the equations is developed. The calculation data on the statistical solar flux characteristics are compared with experimental observations.